

### Ⅲ種プレストレストコンクリート曲げ部材のひびわれ限界状態について — 解析方法について —

香川大学 正 豊福 俊英  
京都大学 正 因田 青

#### 1. まえがき

限界状態設計法を用いてコンクリート構造物の設計を行う場合、使用限界状態の一つであるひびわれ限界状態は重要な検討事項である。

これまで、筆者らはⅢ種プレストレストコンクリート（以下Ⅲ種PCと略称）曲げ部材が構造物として用いられる場合ひびわれ制御上有効な部材であることを実験的に示し<sup>1)2)3)</sup>、各ひびわれ限界状態と前張鉄筋応力との関係を述べた。

したがって、本報告は上記Ⅲ種PC曲げ部材のひびわれ限界状態を検討するに当て必要な前張鉄筋応力に関する解析方法について述べる。

#### 2. 解析方法

Ⅲ種PC曲げ部材における前張鉄筋応力の検討を既往鉄筋コンクリート（以下RCと略称）や省略されてきた解析方法を用いて行うために、次に述べる基準状態の考え方を導入する。

##### (i) 基準状態

PC部材はRC部材に比して有効プレストレス $P_e$ による内力が加わっている。したがって、この内力の差を $\Delta P_e$ および図-3に示す仮想偏心力 $F_v$ 、 $F_v$ および仮想モーメント $M_v$ によて検討することから始める。

まず自重+載荷荷重によるモーメント $M_0$ が部材に作用し、上を有効プレストレス $P_e$ によて導入された前張鉄筋レベルでの部材のコンクリート応力あるいはひびわれが打ち消されて零となる。このときPC鋼材には引張力 $F_v$ が作用している。すなわち、

$$F_v = P_e + \Delta P_e = P_e + A_p E_p E_y \quad \dots (1)$$

である。さらに、部材全レベルでの $P_e$ による応力を打ち消す状態（これを基準状態と呼ぶ）を設定し、さらにPC鋼材引張力を打ち消すために図-1および図-3に示すよう仮想偏心力 $F_v$ および $F_v$ を之れよりPC鋼材位置および図に軸から $\delta$ の距離に作用させる。これらの関係は式で表される。

$$\begin{cases} F_v e^* = M_0 - P_e e \\ F_1 + F_2 = 0 \end{cases} \quad \dots (2)$$

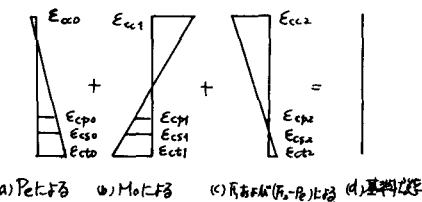
あることは

$$\begin{cases} F_v e^* = M_0 - P_e e \\ -F_1 = F_2 = F_v \end{cases} \quad \dots (3)$$

なお、これらの状態の実際を図-2に数値例で示す。

##### (ii) 解析方法

PC部材の前張鉄筋応力の計算はこれまで次式の左辺の形のモーメント



(a)  $P_e$ による (b)  $M_0$ による (c)  $P_e + M_0$ による (d) 基準状態

図-1 基準状態のひずみ分布図

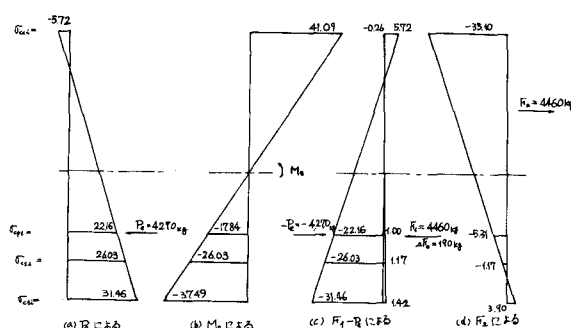


図-2 数値例 (2D10-3)

に対する検討が行なわれてきた。すなはち、転化前発生以前においては、

$$\begin{aligned} M_{(RC)} &= M - P_e \cdot e = M_{(RC)} + \{ M_0 - (F_e e^* - F_e e) \} \\ &= M_{(RC)} + \{ M_0 - (F_e e^* + F_e e) \} \end{aligned} \quad \cdots \quad (3)$$

なお、(3)式における  $M_{(RC)}$  とは基準状態後の増加モーメントであり、RC状態でのモーメントを意味する。  
したがって、この式から

$$\begin{aligned} M &= (M - P_e \cdot e) + P_e \cdot e = M_{(RC)} + \{ M_0 - (F_e e^* + F_e e) \} + P_e \cdot e \\ &= M_{(RC)} + \{ M_0 - (F_e e^* + \Delta F_e e) \} \end{aligned}$$

これを(3)式と同じ様に書き換えれば

$$\{ M'_{(RC)} = M - P_e \cdot e = M_{(RC)} + \{ M_0 - (F_e e^* + \Delta F_e e) \} \} \quad \cdots \quad (4)$$

$$M'_{(RC)} = M, \quad M' = M + P_e \cdot e \quad \cdots \quad (5)$$

さて、ここで仮想力下でPC鋼材の引張力  $F_e$  を打ち消すために導入したが、はり部材に於ては有効アリストレス  $P_e$  の分が打ち消されて部材に  $\Delta F_e$  の圧縮力が作用する。すなはち、仮想力  $F_e$  および  $\Delta F_e$  は(3)式の {} 内の形で作用するのではなく(4)式の {} 内の形で作用する。したがって、ここでは(4)式の {} のものを(3)式の形のものとして解説を進め、最終的には(3)式と(4)式のモーメント差  $P_e \cdot e$  をもとす形をとる。

なお、転化前発生後は(3)および(4)式中の  $e \rightarrow e'$ ,  $e^* \rightarrow e'^*$  と置き換えるば全く同様の関係が成り立つことが知られている。

したがって、基準状態が得られればその後の解析は従来のRC上同様の解析方法で検討を行うことができる。  
すなはち、図-3 に示す通りに、まず平面保持の仮定より、

$$\frac{\sigma_c^{**}}{\sigma_s^{**}} = \frac{x}{n_s(d_s-x)}, \quad \frac{\sigma_c^{**}}{\sigma_p^{**}} = \frac{x}{n_p(d_p-x)} \quad \cdots \quad (6)$$

次に、圧縮力 = 引張力の関係より

$$\frac{b}{2}x\sigma_c^{**} = A_s\sigma_s^{**} + A_p\sigma_p^{**} \quad \cdots \quad (7)$$

(6), (7)式より、中立軸の位置  $x$  が次式で求められる。

$$\frac{b}{2}x^2 + (n_s A_s + n_p A_p)x - (n_s A_s d_s + n_p A_p d_p) = 0 \quad \cdots \quad (8)$$

さらに、PC鋼筋図面よりのモーメントを考えると

$$\begin{aligned} M' &= \frac{b}{2}x\sigma_c^{**}(d_p - \frac{x}{3}) + A_s\sigma_s^{**}(d_s - d_p) + \{ M_0 - (F_e e^{**} + \Delta F_e e') \} \\ \therefore M &= \frac{b}{2}x\sigma_c^{**}(d_p - \frac{x}{3}) + A_s\sigma_s^{**}(d_s - d_p) + \{ M_0 - (F_e e^{**} + \Delta F_e e') \} + P_e \cdot e' \end{aligned} \quad \cdots \quad (9)$$

結局(6), (9)両式より、 $\sigma_s^{**}$  に対して次式が得らる。

$$\sigma_s^{**} = n_s \frac{M - \{ M_0 - (F_e e^{**} + \Delta F_e e') \} - P_e \cdot e'}{\frac{b}{2}x^2 \frac{d_p - \frac{x}{3}}{d_s - x} + A_s(d_s - d_p)} = n_s \frac{M - 2 \cdot P_e \cdot e'}{\frac{b}{2}x^2 \frac{d_p - \frac{x}{3}}{d_s - x} + A_s(d_s - d_p)} \quad \cdots \quad (10)$$

#### 参考文献

1) 國際「直槽PC梁の曲げ状態」実験

基礎研究, せ枝, XXX, 1976, 521~526

2) 國際「直槽PC梁の强度試験」の実験結果

基礎研究, 第3回本会議, 1976, 131~132

3) 國際「直槽PC梁の耐荷能性」実験

2・3の実験, せ枝, XXXI, 1977, 474~477

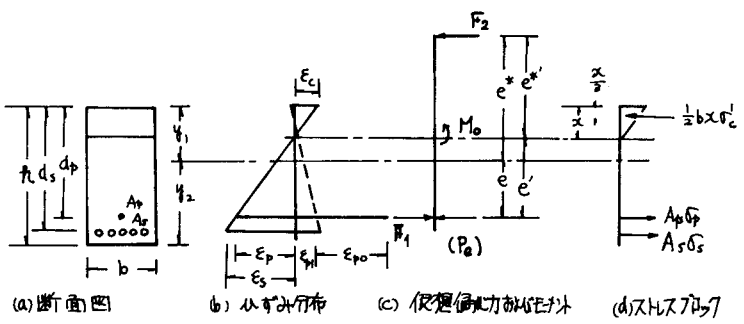


図-3 ひずみ分布および応力分布図